

非线性Schrödinger方程的高效保结构算法

钱 旭

(合作者: 宋松和, 张弘, 傅浩, 宋明展)

国防科技大学数学系

E-mail: qianxu@nudt.edu.cn

湘潭大学, 2019年05月



Outline

1 研究背景及意义

2 研究工作

- (1)强耦合非线性Schrödinger方程的多辛小波分裂算法
- (2)变系数Schrödinger方程的守恒算法
- (3)间断型Schrödinger方程的高精度守恒算法
- (4)二维非线性Schrödinger方程的守恒算法
- (5)多变量耦合非线性Schrödinger方程的守恒算法

3 总结与展望

当代计算方法研究的一条不成文的基本法则是，问题原型的基本特征在离散后应该尽可能地得到保持。而为了达到这一效果，则离散化应尽可能在问题原型的同一个形式框架中进行。

这些不同的数学形式是陈述同一个物理规律。由于形式不同，它们对实践上“解题”而言，自然会提供完全不同的技术途径。因此，等价的数学形式，实践上可以是不等价的。

冯康

现有的保结构算法（几何算法）

1. 辛算法（Hamiltonian ODEs）；
2. 多辛算法（Hamiltonian PDEs）；
3. 保能量或保动量格式；
4. 无源系统的保体积格式；
5. 保首次积分格式；
6. 接触系统的接触格式；
7. 李群方法；

.....

Schrödinger方程

- 量子力学的核心理论归结为五个公设,其中之一就是 Schrödinger 方程假设.

Schrödinger方程

- 量子力学的核心理论归结为五个公设,其中之一就是 Schrödinger 方程假设.
- 微观粒子体系的状态波函数满足如下 Schrödinger 方程

$$i\hbar \frac{\partial \psi(t, x)}{\partial t} = -\frac{\hbar^2}{2m} \Delta_x \psi(t, x) + V(x) \psi(t, x), \quad (t, x) \in R^+ \times \Omega. \quad (1)$$

其中 $\psi(t, x)$ 是关于时间 t 和空间 $x = (x_1, x_2, \dots, x_d)^T$ 的波函数, i 是虚数单位, \hbar 是普朗克常量, $V = V(x) \geq 0$ 代表势能. $\Omega \subset R^d$ 是波函数在空间的定义域.

Schrödinger方程

- 量子力学的核心理论归结为五个公设,其中之一就是 Schrödinger 方程假设.
- 微观粒子体系的状态波函数满足如下 Schrödinger 方程

$$i\hbar \frac{\partial \psi(t, x)}{\partial t} = -\frac{\hbar^2}{2m} \Delta_x \psi(t, x) + V(x) \psi(t, x), \quad (t, x) \in R^+ \times \Omega. \quad (1)$$

其中 $\psi(t, x)$ 是关于时间 t 和空间 $x = (x_1, x_2, \dots, x_d)^T$ 的波函数, i 是虚数单位, \hbar 是普朗克常量, $V = V(x) \geq 0$ 代表势能. $\Omega \subset R^d$ 是波函数在空间的定义域.

- 在量子力学中, 粒子以概率密度的形式存在于整个空间中, 因此, 所有可观察的力学量都是以概率密度的形式存在.

非线性Schrödinger方程

- 考虑 d ($d = 1, 2, 3$)维非线性 Schrödinger (NLS) 方程:

$$i\hbar \frac{\partial \psi}{\partial t} = -\frac{\hbar^2}{2} \Delta_x \psi + V\psi + \beta \hbar^\alpha |\psi|^{2\sigma} \psi, \quad (t, x) \in R^+ \times R^d \quad (2)$$

其中 $\sigma > 0$, α 和 β 是给定的实常数.

非线性Schrödinger方程

- 考虑 d ($d = 1, 2, 3$)维非线性 Schrödinger (NLS) 方程:

$$i\hbar \frac{\partial \psi}{\partial t} = -\frac{\hbar^2}{2} \Delta_x \psi + V\psi + \beta \hbar^\alpha |\psi|^{2\sigma} \psi, \quad (t, x) \in R^+ \times R^d \quad (2)$$

其中 $\sigma > 0$, α 和 β 是给定的实常数.

- 方程(2)又被称为 Gross-Pitaevskii 方程, 它描述了现代物理中重要的波色-爱因斯坦凝聚 (Bose-Einstein condensate).

非线性Schrödinger方程

- 考虑 d ($d = 1, 2, 3$)维非线性 Schrödinger (NLS) 方程:

$$i\hbar \frac{\partial \psi}{\partial t} = -\frac{\hbar^2}{2} \Delta_x \psi + V\psi + \beta \hbar^\alpha |\psi|^{2\sigma} \psi, \quad (t, x) \in R^+ \times R^d \quad (2)$$

其中 $\sigma > 0$, α 和 β 是给定的实常数.

- 方程(2)又被称为 Gross-Pitaevskii 方程, 它描述了现代物理中重要的波色-爱因斯坦凝聚 (Bose-Einstein condensate).
- 相比之下, 非线性问题的数学理论较为复杂, 因为此时能量泛函无法像线性问题那样表示成自伴随算子的作用, 而且适定性理论往往需要对势能函数 $V(x)$ 加上一定的限制条件.

Proposal

- 在数学上，由于单个粒子的状态高度集中在某条近似经典轨道附近，那么波函数会在局部形成强烈震荡，这给理论研究和数值计算带来较大困难.

Proposal

- 在数学上，由于单个粒子的状态高度集中在某条近似经典轨道附近，那么波函数会在局部形成强烈震荡，这给理论研究和数值计算带来较大困难.
- 量子力学系统沿用了经典力学中关于动量、势能、动能等物理量的定义. 一般地，Schrödinger方程依然满足质量和能量守恒律，并且具有Hamilton 系统的辛与多辛几何结构.

Proposal

- 在数学上，由于单个粒子的状态高度集中在某条近似经典轨道附近，那么波函数会在局部形成强烈震荡，这给理论研究和数值计算带来较大困难.
- 量子力学系统沿用了经典力学中关于动量、势能、动能等物理量的定义. 一般地，Schrödinger方程依然满足质量和能量守恒律，并且具有Hamilton 系统的辛与多辛几何结构.
- 在设计数值格式的时候，**如何保持这些结构和守恒律**，对于有效求解Schrödinger方程具有十分重要的意义.

强耦合非线性Schrödinger方程的多辛小波分裂算法

提出了一种多辛小波分裂 (MSWS) 算法用于求解强耦合非线性Schrödinger (SCNLS) 系统

$$\begin{cases} iu_t + \beta u_{xx} + [\alpha_1 |u|^2 + (\alpha_1 + 2\alpha_2) |v|^2] u + \gamma u + \Gamma v = 0, \\ iv_t + \beta v_{xx} + [\alpha_1 |v|^2 + (\alpha_1 + 2\alpha_2) |u|^2] v + \gamma v + \Gamma u = 0, \end{cases} \quad (3)$$

其中 u 和 v 为两个复振幅, β 为群速度色散系数, α_1 是描述一种双折射介质的脉冲信号聚焦的系数。 $(\alpha_1 + 2\alpha_2)$ 为交叉相位调制系数, Γ 和 γ 为线性耦合系数。

SWCM求解SCNLS方程

系统(3)可以写成Hamilton偏微分方程

$$Mz_t + Kz_x = \nabla_z S(z), \quad (4)$$

多辛形式(4)可以被分裂成多辛子系统

$$Mz_t + K_i z_x = \nabla_z S^i(z), \quad i = 1, 2, \dots, N, \quad (5)$$

其中, $K = \sum_{i=1}^N K_i$, $S(z) = \sum_{i=1}^N S^i(z)$. SCNLS方程(3)可被分裂成一个线性子系统

$$\mathcal{L}: \begin{cases} iu_t + \beta u_{xx} + \gamma u + \Gamma v = 0, \\ iv_t + \beta v_{xx} + \gamma v + \Gamma u = 0, \end{cases} \quad (6)$$

和一个非线性子系统

$$\mathcal{N}: \begin{cases} iu_t + [\alpha_1 |u|^2 + (\alpha_1 + 2\alpha_2) |v|^2] u = 0, \\ iv_t + [\alpha_1 |v|^2 + (\alpha_1 + 2\alpha_2) |u|^2] v = 0. \end{cases} \quad (7)$$

小波配点方法

考虑计算区域为 $[a, b]$ 上的周期函数 $u(x, t)$, 其中 a 和 b 为整数。尺度为 J , V_J 为DM小波尺度函数的自相关函数 $\theta(x)$ 张成的空间, 利用 I_J 逼近 $u(x, t)$ 。 $I_J u(x, t)$ 可表示为

$$u_J(x, t) = I_J u(x, t) = \sum_{m=0}^{N-1} u(x_m, t) \theta(2^J x - (a \cdot 2^J + m)), \quad (8)$$

其中, $x_m = a + m/2^J$ 为配置点, $m = 0, 1, \dots, N-1$. 由 $\theta(x)$ 的性质, $u_J(x_m, t) = u(x_m, t)$.

要求得关于 $u_J(x_m, t)$ 的方程, 关键是将空间偏导数 $\frac{\partial^k u_J(x, t)}{\partial x^k}$ 在配置点处的值用函数值 $u_J(x_m, t)$ 表示。具体地, 首先对(8)中的 $u_J(x, t)$ 求 k 次导, 然后在 x_m 这个配置点处取值, 即有

$$\frac{\partial^k u_J(x, t)}{\partial x^k} \Big|_{x_m} = \sum_{m'=0}^{N-1} u(x_{m'}, t) \cdot \frac{d^k \theta(2^J x - (a \cdot 2^J + m'))}{dx^k} \Big|_{x_m} = (B_k U_J)_m, \quad (9)$$

其中, $U_J = (u_J(x_0, t), u_J(x_1, t), \dots, u_J(x_{N-1}, t))^T$, B_k 是一 $N \times N$ 的矩阵。

小波配点方法

B_k 的元素可表示为

$$(B_k)_{m,m'} = \frac{d^k \theta(2^J x - (a \cdot 2^J + m'))}{dx^k} \Big|_{x_m} = 2^{kJ} \theta^{(k)}(m - m'). \quad (10)$$

由于 $\theta(x)$ 具有局部紧支撑的特点, 其中, 支撑区间为 $[-M+1, M-1]$, 因此, 当 $m' < m - M + 1$ 或 $m' > m + M - 1$ 时, $(B_k)_{m,m'} = 0$. 同时, 考虑周期边界条件, B_k 可写为

$$(B_k)_{m,m'} = \begin{cases} 2^{kJ} \theta^{(k)}(m - m'), & m - (M-1) \leq m' \leq m + (M-1); \\ 2^{kJ} \theta^{(k)}(-l), & m - m' = N - l, 1 \leq l \leq M-1; \\ 2^{kJ} \theta^{(k)}(l), & m' - m = N - l, 1 \leq l \leq M-1; \\ 0, & \text{else.} \end{cases} \quad (11)$$

易知, B_k 为一 $N \times N$ 的稀疏矩阵, 每行仅有 $2M-1$ 个非零元, 且有下列式成立

$$(B_k U_J)_m = \sum_{m'=m-M+1}^{m+M-1} u_J(x_{m'}) 2^{kJ} \theta^{(k)}(m - m'). \quad (12)$$

小波配点方法

设 $M = 4$ ，即D4小波，对于其自相关函数， B_k 可表示为

$$B_k = 2^{kJ} \begin{pmatrix} b_0 & b_{-1} & b_{-2} & b_{-3} & & & b_3 & b_2 & b_1 \\ b_1 & b_0 & b_{-1} & b_{-2} & b_{-3} & & & b_3 & b_2 \\ b_2 & b_1 & b_0 & b_{-1} & b_{-2} & b_{-3} & & & b_3 \\ b_3 & b_2 & b_1 & b_0 & b_{-1} & b_{-2} & b_{-3} & & \\ & & & & \ddots & & & & \\ & & & & & & b_3 & b_2 & b_1 & b_0 & b_{-1} & b_{-2} & b_{-3} \\ b_{-3} & & & & & & b_3 & b_2 & b_1 & b_0 & b_{-1} & b_{-2} & b_{-3} \\ b_{-2} & b_{-3} & & & & & b_3 & b_2 & b_1 & b_0 & b_{-1} & b_{-2} & b_{-3} \\ b_{-1} & b_{-2} & b_{-3} & & & & b_3 & b_2 & b_1 & b_0 & b_{-1} & b_{-2} & b_{-3} \end{pmatrix}, \quad (13)$$

其中， $b_l = \theta^{(k)}(l)$ ， l 是区间 $-3 \leq l \leq 3$ 上的整数。

小波配点方法

定理1: 对于DM小波的自相关函数, 空间离散矩阵 B_k 具有以下性质:

(1) B_{2k} 是对称矩阵, B_{2k+1} 是反对称的。

(2) B_k 是带宽为 $2M-1$ 的循环矩阵, $B_{2k}B_{2k'+1}$ 是带宽为 $4M-3$ 的循环矩阵。

一般地, $C = B_{2k_1}^{n_1} B_{2k_2}^{n_2} B_{2k_3+1}^{n_3} B_{2k_4+1}^{n_4}$ 是带宽为 $2(n_1 + n_2 + n_3 + n_4)(M-1) + 1$ 的循环矩阵, 若 $n_3 + n_4$ 为偶数, C 是对称的, 反之, 为反对称的。

(3) 循环矩阵 B_k 的特征值为

$$\lambda_j = 2^{kj} \hat{\theta}^{(k)}(\omega_j), \omega_j = -\frac{2\pi}{N}j, j = 0, 1, \dots, N-1, \quad (14)$$

其中 $\hat{\theta}^{(k)}(\omega)$ 是 $\theta^{(k)}(x)$ 的Fourier变换, 且满足以下关系式

$$FB_k F^* = 2^{kj} \text{diag}(\hat{\theta}^{(k)}(\omega_0), \hat{\theta}^{(k)}(\omega_1), \dots, \hat{\theta}^{(k)}(\omega_{N-1})), \quad (15)$$

其中, F^* 是Fourier矩阵。

(4) B_{4k+2} 是半负定矩阵, B_{4k} 是半正定矩阵。

SWCM求解SCNLS方程

对于线性子系统(6)，在时空方向分别利用辛**Euler**格式和多辛小波配点格式进行离散。

对于非线性子系统(7)，应用辛中点格式；

利用如下的二阶组合方法把两个子问题的解结合起来

$$u_i(x, t + \Delta t) = \exp\left(\frac{\Delta t}{2}\mathcal{N}\right) \exp(\Delta t\mathcal{L}) \exp\left(\frac{\Delta t}{2}\mathcal{N}\right) u_i(x, t). \quad (16)$$

数值结果

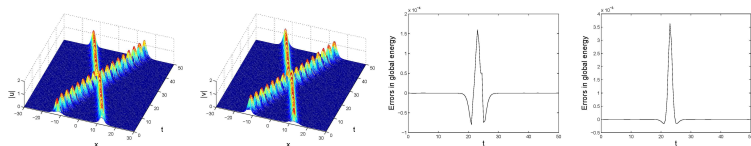


Figure: MSWS模拟双孤立波弹性碰撞，以及MSWS和MSFP算法全局能量误差的比较。

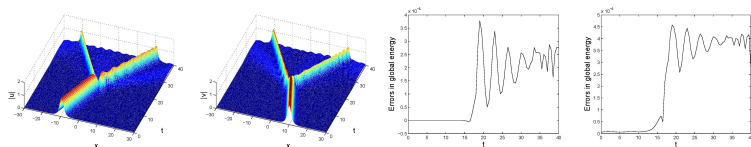


Figure: MSWS模拟双孤立波非弹性碰撞，以及MSWS和MSFP算法全局能量误差的比较。

变系数Schrödinger方程的守恒算法

变系数的一维非线性Schrödinger (1D-NLS) 方程

$$i\psi_t + \alpha(t)\psi_{xx} + v(x)\psi + \beta(t)|\psi|^2\psi = 0, \quad (17)$$

命题：方程(17)的解 ψ 满足

(1) 电荷守恒:

$$\mathcal{Q}(\psi) = \int_{\mathbb{R}} |\varphi|^2 dx = \mathcal{Q}(\varphi); \quad (18)$$

(2) 全局动量守恒: 若 $v(x)$ 为常数时, 则

$$\mathcal{M}(\psi) = \int_{\mathbb{R}} (\Re(\psi)\Im(\psi_x) - \Re(\psi_x)\Im(\psi)) dx = \mathcal{M}(\varphi), \quad (19)$$

其中 \Re 和 \Im 分别表示实部和虚部;

(3) 全局能量守恒: 若 $\alpha(t)$ 和 $\beta(t)$ 独立于 t (即 $\alpha(t) = \alpha, \beta(t) = \beta$), 则

$$\begin{aligned} \mathcal{E}(\psi) &= \int_{\mathbb{R}} (\alpha|\psi_x|^2 - v(x)|\psi|^2 - \frac{\beta}{2}|\psi|^4) dx \\ &= \int_{\mathbb{R}} (\alpha|\varphi_x|^2 - v(x)|\varphi|^2 - \frac{\beta}{2}|\varphi|^4) dx = \mathcal{E}(\varphi). \end{aligned} \quad (20)$$

1D-NLS分裂技术

把一个非线性系统

$$w_t = (\mathcal{L}(t) + \mathcal{N}(t, w))w, \quad (21)$$

在每个时间层分裂成一个线性的子系统

$$w_t = \mathcal{L}(t)w, \quad (22)$$

和一个非线性的子系统

$$w_t = \mathcal{N}(t, w)w, \quad (23)$$

根据Strang的分裂思想求解(22)(23) ($t \in [t_n, t_{n+1}]$), 有

$$\begin{aligned} w^* &= \exp \left[\frac{1}{2} \int_{t_n}^{t_{n+1}} \mathcal{N}(t, w(t_n)) dt \right] w(t_n), \\ w^{**} &= \exp \left[\int_{t_n}^{t_{n+1}} \mathcal{L}(t) dt \right] w^*, \\ w(t_{n+1}) &= \exp \left[\frac{1}{2} \int_{t_n}^{t_{n+1}} \mathcal{N}(t, w^{**}) dt \right] w^{**}. \end{aligned} \quad (24)$$

变系数Schrödinger方程的守恒算法

具体地，提出了一种小波分裂（WCS）方法，以及一种与之类似的Fourier拟谱分裂（FPSS）方法来作为比较。主要求解以下三类方程：

(1) 立方1D-NLS方程

$$i\psi_t + \alpha(t)\psi_{xx} + \beta(t)|\psi|^2\psi = 0. \quad (25)$$

(2) Gross–Pitaevskii（GP）方程

$$i\psi_t + \alpha\psi_{xx} + v(x)\psi + \beta|\psi|^2\psi = 0. \quad (26)$$

(3) 二维线性Schrödinger（2D-LS）方程

$$i\psi_t + \frac{1}{2}\psi_{xx} + \frac{1}{2}\psi_{yy} + (v(x, y) - \varepsilon(t)x)\psi = 0, \quad (27)$$

WCS算法格式（一维情形）

现利用小波配点方法离散方程的线性部分

$$\frac{\partial}{\partial t} \psi_j = i\alpha(t)(B_2 \Psi)_j, \quad (28)$$

其中, $\Psi = (\psi_0, \psi_1, \dots, \psi_{N-1})^T, j = 0, 1, \dots, N-1$.

然后, 利用Euler中点格式在时间方向对该子系统进行离散

$$\psi_j^{n+1} = \psi_j^n + \frac{i\tau}{2}(\alpha^{n+1} + \alpha^n)(B_2 \Psi^{n+1/2})_j, \quad (29)$$

其中, $\Psi^{n+1/2} = (\Psi^{n+1} + \Psi^n)/2$.

针对1D-NLS方程, 可以得到如下的WCS算法:

$$\begin{aligned} \psi_j^* &= \exp \left[i \left(v(x_j) + |\psi_j^n|^2 \int_{t_n}^{t_{n+1}} \beta(t) dt \right) / 2 \right] \psi_j^n, \quad j = 0, 1, \dots, N-1, \\ \psi_j^{**} &= \psi_j^* + \frac{i\tau}{4}(\alpha^{n+1} + \alpha^n)(B_2(\Psi^{**} + \Psi^*))_j, \quad j = 1, 2, \dots, N-2, \\ \psi_0^{**} &= \psi_{N-1}^{**} = 0, \\ \psi_j^{n+1} &= \exp \left[i \left(v(x_j) + |\psi_j^{**}|^2 \int_{t_n}^{t_{n+1}} \beta(t) dt \right) / 2 \right] \psi_j^{**}, \quad j = 0, 1, \dots, N-1. \end{aligned} \quad (30)$$

WCS算法格式（二维情形）

根据分裂技术，可以将2D-LS方程(27)分裂成两个子系统：

$$\mathcal{L}_1 \quad \psi_t = i\left(\frac{1}{2}\psi_{xx} + \frac{1}{2}\psi_{yy}\right), \quad (31)$$

$$\mathcal{L}_2 \quad \psi_t = i(v(x, y) - \varepsilon(t)x)\psi. \quad (32)$$

类似于一维情形，针对2D-LS方程(27)，可以得到如下的WCS算法：

$$\begin{aligned} \psi_{l,l'}^* &= \exp \left[i \left(v(x_l, y_{l'})\tau - x_l \int_{t_n}^{t_{n+1}} \varepsilon(t) dt \right) / 2 \right] \psi_{l,l'}^n, \quad l, l' = 0, 1, \dots, N-1, \\ \psi_{l,l'}^{**} &= \psi_{l,l'}^* + \frac{i\tau}{4} (A(\Psi^{**} + \Psi^*))_{l,l'}, \quad l, l' = 1, 2, \dots, N-2, \\ \psi_{0,l'}^{**} &= \psi_{N-1,l'}^{**} = \psi_{l,0}^{**} = \psi_{l,N-1}^{**} = 0, \quad l, l' = 0, 1, \dots, N-1, \\ \psi_{l,l'}^{n+1} &= \exp \left[i \left(v(x_l, y_{l'})\tau - x_l \int_{t_n}^{t_{n+1}} \varepsilon(t) dt \right) / 2 \right] \psi_{l,l'}^{**}, \quad l, l' = 0, 1, \dots, N-1. \end{aligned} \quad (33)$$

其中， $A = B_2 \otimes I_N + I_N \otimes B_2$ ， \otimes 是Kronecker内积， I_N 是 $N \times N$ 的单位矩阵， B_k 是 $N \times N$ 的循环矩阵。

理论分析

定理2: 假定 $p(x, t), q(x, t) \in H^s(a, b)$, $s \geq \frac{5}{2}$, $\forall t \in [0, T]$,
 $p(x, t), q(x, t) \in C^4(a, b)$, $\alpha(t) \equiv \alpha$. 则WCS算法的截断误差 R^n

$$\|R^n\| \leq O(\tau + 2^{-J(s-2)}).$$

定理3: 假设 $\psi(x, t)$ 与定理2定义一致, 则WCS算法的误差估计 e^M 满足

$$\|e^M\| \leq O(\tau + 2^{-J(s-2)}).$$

定理4: WCS算法能保持电荷守恒

$$Q^{n+1} = \|\Psi^{n+1}\|^2 = \Delta x \sum_j |\psi^{n+1}|^2 = \dots = Q^0, \quad (34)$$

其中, Δx 为空间步长。

理论分析

定理5: 若 $\alpha(t) \equiv \alpha$, $\beta(t) \equiv \beta$, 以及波函数 ψ 是独立的, 即

$$\psi(x, t) = X(x)T(t), \quad (35)$$

则WCS算法满足离散的全局能量守恒律

$$\begin{aligned} \Delta x \sum_j \left(\alpha |(B_2 \Psi^{n+1})_j|^2 - \nu_j |\psi_j^{n+1}|^2 - \frac{\beta}{2} |\psi_j^{n+1}|^4 \right) \\ = \Delta x \sum_j \left(\alpha |(B_2 \Psi^n)_j|^2 - \nu_j |\psi_j^n|^2 - \frac{\beta}{2} |\psi_j^n|^4 \right). \end{aligned} \quad (36)$$

换言之

$$\mathcal{E}^{n+1} = \mathcal{E}^n = \dots = \mathcal{E}^0. \quad (37)$$

WCS算法求解1D-NLS方程

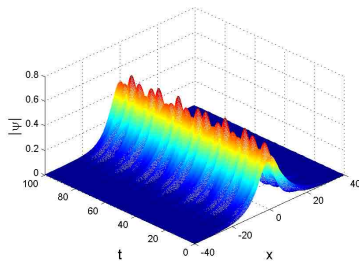
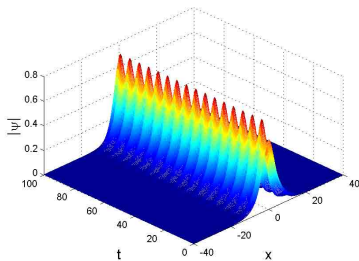


Figure: WCS算法计算周期（左边）和拟周期（右边）孤立波。

WCS算法求解GP方程

Table: 两种算法在不同时间数值误差的比较

时间	实部		虚部	
	L^∞ 误差	L^2 误差	L^∞ 误差	L^2 误差
WCS 算法				
5	3.599E-7	6.362E-7	1.267E-7	2.353E-7
10	4.988E-7	8.826E-7	5.836E-7	1.031E-6
15	5.620E-7	9.913E-7	9.979E-7	1.777E-6
20	1.516E-6	2.681E-6	2.394E-7	4.187E-7
25	3.838E-7	6.711E-7	1.879E-6	3.324E-6
30	1.990E-6	3.464E-6	1.318E-6	2.152E-6
FPSS 算法				
5	8.980E-6	1.590E-5	3.165E-6	5.884E-6
10	1.244E-5	2.206E-5	1.456E-5	2.577E-5
15	1.402E-5	2.478E-5	2.489E-5	4.442E-5
20	3.782E-5	6.704E-5	5.958E-6	1.046E-5
25	9.360E-6	1.677E-5	4.673E-5	8.311E-5
30	4.889E-5	8.660E-5	3.011E-5	5.347E-5

WCS算法求解2D-LS方程

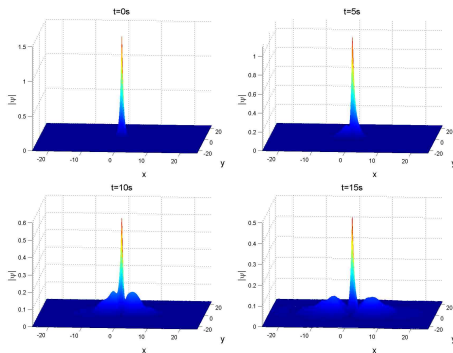


Figure: WCS算法模拟原子与激光场的相互作用。

间断型Schrödinger方程的高精度守恒算法

考虑非线性Schrödinger 方程(NLSE), 或称Gross-Pitaevskii 方程(GPE)

$$i\hbar\partial_t\Phi(\mathbf{r}, t) = \left(-\frac{\hbar^2}{2m}\nabla^2 + V_{\text{ext}}(\mathbf{r}) + g|\Phi(\mathbf{r}, t)|^2 \right)\Phi(\mathbf{r}, t). \quad (38)$$

(1) 电荷守恒

$$\mathcal{N} = \int |\Phi(\mathbf{r}, t)|^2 d\mathbf{r}; \quad (39)$$

(2) 全局能量守恒:

$$\mathcal{E}(\Phi) = \int \left[\frac{\hbar^2}{2m} |\nabla\Phi(\mathbf{r}, t)|^2 + V_{\text{ext}}(\mathbf{r}) |\Phi(\mathbf{r}, t)|^2 + \frac{g}{2} |\Phi(\mathbf{r}, t)|^4 \right] d\mathbf{r}. \quad (40)$$

修正Crank–Nicolson小波格式

对于1+1维GPE，在空间上利用小波配点方法，时间上利用修正Crank–Nicolson格式

$$i\hbar D_t \Phi^n = -\frac{\hbar^2}{2m} A_t B_2 \Phi^n + V \cdot A_t \Phi^n + g A_t |\Phi^n|^2 \cdot A_t \Phi^n, \quad (41)$$

其中

$$\Phi^n = (\phi_0^n, \phi_1^n, \dots, \phi_{N-1}^n)^T, |\Phi^n|^2 = (|\phi_0^n|^2, |\phi_1^n|^2, \dots, |\phi_{N-1}^n|^2)^T,$$

$$\Phi^{n+1} \cdot \Phi^n = (\phi_0^{n+1} \phi_0^n, \phi_1^{n+1} \phi_1^n, \dots, \phi_{N-1}^{n+1} \phi_{N-1}^n)^T,$$

$$V = (v_0, v_1, \dots, v_{N-1})^T = (V_{\text{ext}}(x_0), V_{\text{ext}}(x_1), \dots, V_{\text{ext}}(x_{N-1}))^T;$$

$$D_t \Phi^n = (\Phi^{n+1} - \Phi^n)/\tau, A_t \Phi^n = (\Phi^{n+1} + \Phi^n)/2; B_2 = B_1^2.$$

小波分裂格式

将1+1维GPE分裂为一个线性方程

$$\mathcal{L}: \quad i\hbar\partial_t\Phi(x,t) = -\frac{\hbar^2}{2m}\partial_{xx}\Phi(x,t), \quad (42)$$

和一个非线性方程

$$\mathcal{N}: \quad i\hbar\partial_t\Phi(x,t) = V_{\text{ext}}(x)\Phi(x,t) + g|\Phi(x,t)|^2\Phi(x,t). \quad (43)$$

利用标准Strang分裂, 得到分裂格式:

$$\begin{aligned} \phi_j^* &= \exp\left[-\frac{i\tau}{2\hbar}(v_j + g|\phi_j^n|)\right]\phi_j^n, \quad j = 0, 1, \dots, N-1, \\ \phi_j^{**} &= \phi_j^* + \frac{i\tau\hbar}{4m}(B_2(\Phi^{**} + \Phi^*))_j, \quad j = 0, 1, \dots, N-1, \\ \phi_j^{n+1} &= \exp\left[-\frac{i\tau}{2\hbar}(v_j + g|\phi_j^{**}|)\right]\phi_j^{**}, \quad j = 0, 1, \dots, N-1. \end{aligned} \quad (44)$$

数值理论分析

Theorem

周期边界条件下, 修正 *Crank–Nicolson* 小波格式具有离散电荷和能量守恒律

$$\mathcal{N}^{n+1} = \|\Phi^{n+1}\|^2 = h \sum_{l=0}^{N-1} |\phi_l^{n+1}|^2 = \mathcal{N}^n = \dots = \mathcal{N}^0, \quad (45)$$

$$\mathcal{E}^{n+1} = \mathcal{E}^n = \dots = \mathcal{E}^0, \quad (46)$$

其中

$$\mathcal{E}^n = \frac{\hbar^2}{2m} \|B_1 \Phi^n\|^2 + \frac{g}{2} \|\Phi^n\|^4 + h \sum_{l=0}^{N-1} v_l |\phi_l^n|^2. \quad (47)$$

数值理论分析

Theorem

$\Phi(x, t) = p(x, t) + iq(x, t)$ 假设 $p(x, t), q(x, t) \in H^s(a, b), s \geq \frac{5}{2}$,
 $\forall t \in [0, T], p(x, t), q(x, t) \in C_{x,t}^{4,2}, V_{ext}(x)$ 在 $[a, b]$ 上有界. 则截
 断误差

$$\|R^n\| \leq O(\tau + 2^{-J(s-2)}).$$

数值理论分析

Theorem

$\Phi(x, t) = p(x, t) + iq(x, t)$ 假设 $p(x, t), q(x, t) \in H^s(a, b), s \geq \frac{5}{2}$,
 $\forall t \in [0, T], p(x, t), q(x, t) \in C_{x,t}^{4,2}, V_{ext}(x)$ 在 $[a, b]$ 上有界. 则截
 断误差

$$\|R^n\| \leq O(\tau + 2^{-J(s-2)}).$$

Theorem

假设条件与上述一致情况下, 则误差估计 e^M 满足

$$\|e^M\| \leq O(\tau + 2^{-J(s-2)}).$$

利用离散delta函数(Peskin, 1977),

$$\delta_h(x) = \begin{cases} \frac{1}{4h} \left(1 + \cos \frac{\pi x}{2h}\right), & |x| < 2h, \\ 0, & |x| \geq 2h. \end{cases} \quad (48)$$

$\delta_h(x)$ 满足以下性质:

$$\sum_i h \delta_h(x - ih) = \int_{-\infty}^{\infty} \delta_h(x) dx = 1, \quad (49)$$

$$\delta_h(x) = \delta_h(-x). \quad (50)$$

$$\lim_{h \rightarrow 0} \sum_i h \delta_h(x - ih) f_i = f(x), \quad (51)$$

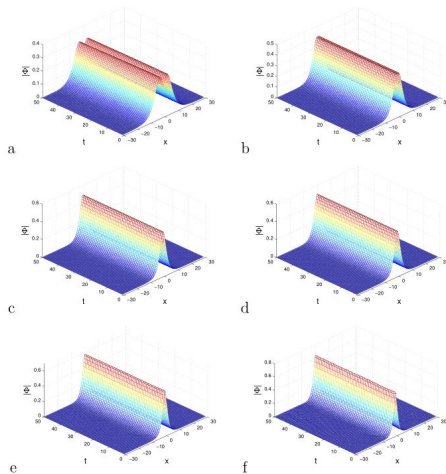


Figure 1: Perturbations of soliton solutions by CNWM with $\lambda = 0.2$ (a), $\lambda = 0.1$ (b), $\lambda = 0.01$ (c), $\lambda = 0$ (d), $\lambda = -0.1$ (e) and $\lambda = -0.2$ (f).

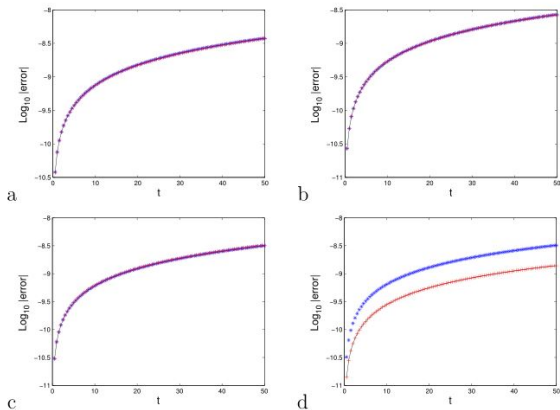


Figure 2: The errors in discrete charge with $\lambda = 0.2$ (a), $\lambda = 0.1$ (b), $\lambda = 0.01$ (c) and $\lambda = 0$ (d): Solid line: CNWM; Blue * symbols: TSWM; Red + symbols: CNWM-ORI.

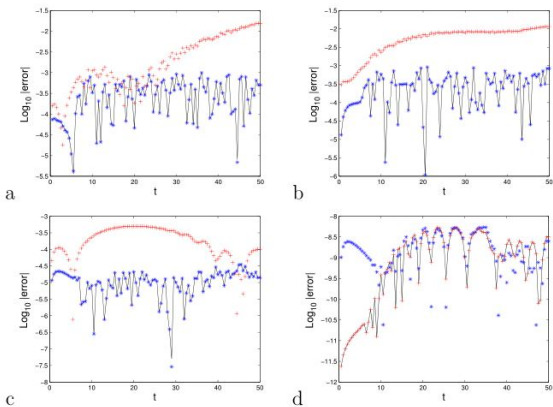


Figure 3: The errors in discrete energy with $\lambda = 0.2$ (a), $\lambda = 0.1$ (b), $\lambda = 0.01$ (c) and $\lambda = 0$ (d): Solid line: CNWM; Blue * symbols: TSWM; Red + symbols: CNWM-ORI.

二维非线性Schrödinger方程的守恒算法

考虑二维非线性Schrödinger (2D-NLS) 方程

$$i\psi_t + \psi_{xx} + \psi_{yy} + \beta|\psi|^2\psi = 0, \quad i = \sqrt{-1}, \quad (52)$$

令 $\psi(x, y, t) = p(x, y, t) + iq(x, y, t)$, 再引入辅助变量后, 可以得到方程(52)的等价形式, 即一个常微分方程组

$$\begin{aligned} -p_t &= b + d + \beta(p^2 + q^2)q, \\ q_t &= a + c + \beta(p^2 + q^2)p, \\ u_x &= a, \quad p_x = u, \\ g_x &= b, \quad q_x = g, \\ v_y &= c, \quad p_y = v, \\ w_y &= d, \quad q_y = w. \end{aligned} \quad (53)$$

2D-NLS方程的局部守恒律

定理6: 2D-NLS系统(53)满足局部能量守恒律 (LECL)

$$\partial_t E + \partial_x F_1 + \partial_y F_2 = 0, \quad (54)$$

其中, 能量密度 $E = \frac{\beta}{4}(p^2 + q^2)^2 - \frac{1}{2}(u^2 + g^2 + v^2 + w^2)$, 能量通量 $F_1 = up_t + gq_t$, $F_2 = vp_t + wq_t$.

定理7: 2D-NLS系统(53) 满足局部动量守恒律 (LMCL)

$$\partial_t I + \partial_x G_1 + \partial_y G_2 = 0, \quad (55)$$

其中, 动量密度 $I = \frac{1}{2}(pg - qu)$, 动量通量 $G_1 = \frac{\beta}{4}(p^2 + q^2)^2 + \frac{1}{2}(u^2 + g^2) + \frac{1}{2}(qp_t - pq_t) - \frac{1}{2}(p_y^2 + q_y^2)$, $G_2 = gw + uv$.

2D-NLS方程的能量守恒 (LEC) 算法

利用中点格式在时空方向分别对方程(53)进行离散, 可得到如下格式

$$\begin{aligned}
 -D_t A_x A_y p_{k,l}^n &= A_t A_x A_y b_{k,l}^n + A_t A_x A_y d_{k,l}^n + \beta A_t (|A_x A_y \psi_{k,l}^n|^2) \cdot A_t A_x A_y q_{k,l}^n, \\
 D_t A_x A_y q_{k,l}^n &= A_t A_x A_y a_{k,l}^n + A_t A_x A_y c_{k,l}^n + \beta A_t (|A_x A_y \psi_{k,l}^n|^2) \cdot A_t A_x A_y p_{k,l}^n, \\
 A_y D_x u_{k,l}^n &= A_x A_y a_{k,l}^n, \quad A_y D_x p_{k,l}^n = A_x A_y u_{k,l}^n, \\
 A_y D_x g_{k,l}^n &= A_x A_y b_{k,l}^n, \quad A_y D_x q_{k,l}^n = A_x A_y g_{k,l}^n, \\
 A_x D_y v_{k,l}^n &= A_x A_y c_{k,l}^n, \quad A_x D_y p_{k,l}^n = A_x A_y v_{k,l}^n, \\
 A_x D_y w_{k,l}^n &= A_x A_y d_{k,l}^n, \quad A_x D_y q_{k,l}^n = A_x A_y w_{k,l}^n.
 \end{aligned} \tag{56}$$

消除辅助变量

$$i D_t A_x^2 A_y^2 \psi_{k,l}^n + A_t A_y^2 D_x^2 \psi_{k,l}^n + A_t A_x^2 D_y^2 \psi_{k,l}^n + A_x A_y (\beta A_t |A_x A_y \psi_{k,l}^n|^2 \cdot A_t A_x A_y \psi_{k,l}^n) = 0. \tag{57}$$

LEC算法的守恒性质

定理8: 格式(57) 满足离散局部能量守恒律

$$\begin{aligned}\mathcal{E}_{k,l}^n = & D_t \left[\frac{\beta}{4} |A_x A_y \psi_{k,l}^n|^4 - \frac{1}{2} (|D_x A_y \psi_{k,l}^n|^2 + |D_y A_x \psi_{k,l}^n|^2) \right] \\ & + D_x (A_t A_y u_{k,l}^n \cdot D_t A_y p_{k,l}^n + A_t A_y g_{k,l}^n \cdot D_t A_y q_{k,l}^n) \\ & + D_y (A_t A_x v_{k,l}^n \cdot D_t A_x p_{k,l}^n + A_t A_x w_{k,l}^n \cdot D_t A_x q_{k,l}^n) = 0.\end{aligned}\quad (58)$$

定理9: 在周期边界条件下, 格式(57)满足离散全局能量守恒律

$$\begin{aligned}\Delta x \Delta y \sum_{k,l} & \left[\frac{\beta}{4} |A_x A_y \psi_{k,l}^{n+1}|^4 - \frac{1}{2} (|D_x A_y \psi_{k,l}^{n+1}|^2 + |D_y A_x \psi_{k,l}^{n+1}|^2) \right] \\ = & \Delta x \Delta y \sum_{k,l} \left[\frac{\beta}{4} |A_x A_y \psi_{k,l}^n|^4 - \frac{1}{2} (|D_x A_y \psi_{k,l}^n|^2 + |D_y A_x \psi_{k,l}^n|^2) \right].\end{aligned}\quad (59)$$

换言之

$$\mathcal{E}^{n+1} = \mathcal{E}^n = \dots = \mathcal{E}^0. \quad (60)$$

定理10: 在周期边界条件下, 格式(57)保持电荷守恒

$$\mathcal{Q}^{n+1} = \|A_x A_y \Psi^{n+1}\|^2 = \Delta x \Delta y \sum_{k,l} |A_x A_y \psi_{k,l}^{n+1}|^2 = \dots = \mathcal{Q}^0. \quad (61)$$

2D-NLS方程的动量守恒 (LMC) 算法

利用中点格式在时空方向分别对方程(53)进行离散, 可得到如下格式

$$\begin{aligned}
 -D_t A_x A_y p_{k,l}^n &= A_t A_x A_y b_{k,l}^n + A_t A_x A_y d_{k,l}^n + \beta A_x (|A_t A_y \psi_{k,l}^n|^2) \cdot A_t A_x A_y q_{k,l}^n, \\
 D_t A_x A_y q_{k,l}^n &= A_t A_x A_y a_{k,l}^n + A_t A_x A_y c_{k,l}^n + \beta A_x (|A_t A_y \psi_{k,l}^n|^2) \cdot A_t A_x A_y p_{k,l}^n, \\
 A_y D_x u_{k,l}^n &= A_x A_y a_{k,l}^n, \quad A_y D_x p_{k,l}^n = A_x A_y u_{k,l}^n, \\
 A_y D_x g_{k,l}^n &= A_x A_y b_{k,l}^n, \quad A_y D_x q_{k,l}^n = A_x A_y g_{k,l}^n, \\
 A_x D_y v_{k,l}^n &= A_x A_y c_{k,l}^n, \quad A_x D_y p_{k,l}^n = A_x A_y v_{k,l}^n, \\
 A_x D_y w_{k,l}^n &= A_x A_y d_{k,l}^n, \quad A_x D_y q_{k,l}^n = A_x A_y w_{k,l}^n,
 \end{aligned} \tag{62}$$

消除辅助变量

$$i D_t A_x^2 A_y^2 \psi_{k,l}^n + A_t A_y^2 D_x^2 \psi_{k,l}^n + A_t A_x^2 D_y^2 \psi_{k,l}^n + A_x A_y (\beta A_x |A_t A_y \psi_{k,l}^n|^2 \cdot A_t A_x A_y \psi_{k,l}^n) = 0. \tag{63}$$

LMC算法的守恒性质

定理11: 格式满足离散的局部动量守恒律

$$\begin{aligned}
 \mathcal{M}_{k,l}^n = & D_t \left[\frac{1}{2} (A_x A_y p_{k,l}^n \cdot D_x A_y q_{k,l}^n - A_x A_y q_{k,l}^n \cdot D_x A_y p_{k,l}^n) \right] + D_x \left(\frac{\beta}{4} |A_t A_y \psi_{k,l}^n|^4 \right. \\
 & + \frac{1}{2} [(A_t A_y g_{k,l}^n)^2 + (A_t A_y u_{k,l}^n)^2] + \frac{1}{2} (A_t A_y q_{k,l}^n \cdot D_t A_y p_{k,l}^n - A_t A_y p_{k,l}^n \cdot D_t A_y q_{k,l}^n) \\
 & - \frac{1}{2} [(A_t D_y q_{k,l}^n)^2 + (A_t D_y p_{k,l}^n)^2] \Big) + D_y (A_t A_x w_{k,l}^n \cdot D_x A_t q_{k,l}^n \\
 & + A_t A_x v_{k,l}^n \cdot D_x A_t p_{k,l}^n) = 0.
 \end{aligned} \tag{64}$$

定理12: 在周期边界条件下, 格式满足离散全局动量守恒律

$$\begin{aligned}
 & \Delta x \Delta y \sum_{k,l} \left[\frac{1}{2} (A_x A_y p_{k,l}^{n+1} \cdot D_x A_y q_{k,l}^{n+1} - A_x A_y q_{k,l}^{n+1} \cdot D_x A_y p_{k,l}^{n+1}) \right] \\
 & = \Delta x \Delta y \sum_{k,l} \left[\frac{1}{2} (A_x A_y p_{k,l}^n \cdot D_x A_y q_{k,l}^n - A_x A_y q_{k,l}^n \cdot D_x A_y p_{k,l}^n) \right].
 \end{aligned} \tag{65}$$

换言之

$$\mathcal{M}^{n+1} = \mathcal{M}^n = \dots = \mathcal{M}^0. \tag{66}$$

定理13: 在周期边界条件下, 格式保持电荷守恒

$$\mathcal{Q}^{n+1} = \|A_x A_y \Psi^{n+1}\|^2 = \Delta x \Delta y \sum_{k,l} |A_x A_y \psi_{k,l}^{n+1}|^2 = \dots = \mathcal{Q}^0. \tag{67}$$

LEC、LMC算法精度比较

2D-NLS方程(52)具有平面波解: $\psi(x, y, t) = A \exp(i(c_1 x + c_2 y - \omega t))$.

Table: 三种算法在不同时间数值误差的比较。

时间	实部		虚部	
	L^∞ 误差	L^2 误差	L^∞ 误差	L^2 误差
LEC算法				
2	2.011E-04	1.420E-04	2.011E-04	1.420E-04
4	4.031E-04	2.841E-04	4.034E-04	2.841E-04
6	6.140E-04	4.262E-04	6.135E-04	4.262E-04
8	8.949E-04	5.699E-04	8.785E-04	5.699E-04
10	1.773E-03	7.813E-04	1.612E-03	7.813E-04
LMC算法				
2	8.033E-04	5.679E-04	8.034E-04	5.679E-04
4	1.607E-03	1.135E-03	1.608E-03	1.135E-03
6	2.421E-03	1.703E-03	2.420E-03	1.703E-03
8	3.300E-03	2.272E-03	3.285E-03	2.272E-03
10	4.712E-03	2.858E-03	4.515E-03	2.858E-03

LEC算法和LMC算法离散总电荷误差的比较

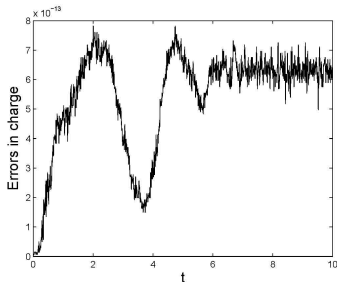
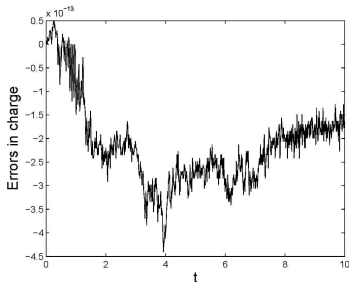


Figure: LEC算法（左边）和LMC算法（右边）离散总电荷误差的比较。

LEC算法和MSP算法离散局部和全局能量误差的比较

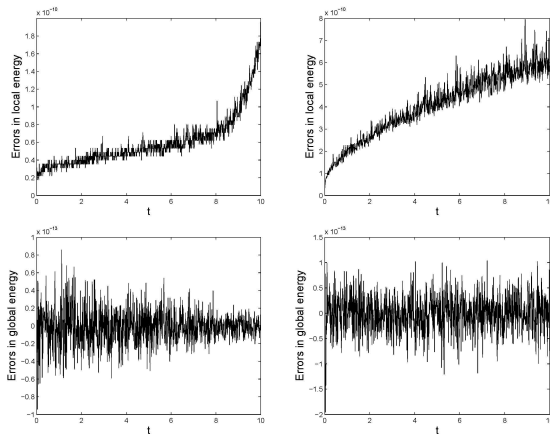


Figure: LEC算法（左边）和MSP算法（右边）离散局部和全局能量误差的比较。

LMC算法和MSP算法离散局部和全局动量误差的比较

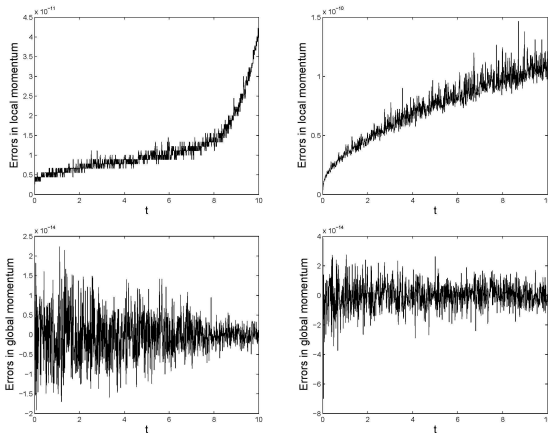


Figure: LMC算法（左边）和MSP算法（右边）离散局部和全局动量误差的比较。

初值条件: $\psi(x, y, 0) = \exp(-(x^2 + y^2)/2)$

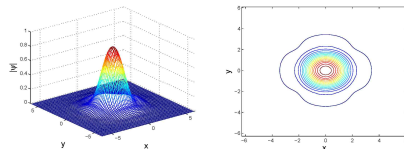


Figure: LEC算法模拟在 $t = 100$ 时的孤立波解。

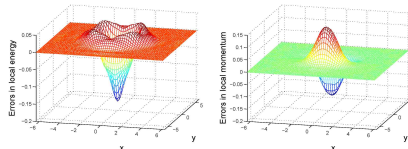


Figure: $t = 100$ 时LEC算法局部能量残差（左边）和LMC算法局部动量残差（右边）。

多变量耦合非线性Schrödinger方程的守恒算法

具有 N_c 个变量的CNLS方程

$$i\frac{\partial\psi_m}{\partial t} + \alpha_m\frac{\partial^2\psi_m}{\partial x^2} + \left(\sum_{j=1}^{N_c}\sigma_{mj}|\psi_j|^2\right)\psi_m = 0, \quad m = 1, 2, \dots, N_c, \quad (68)$$

其中, ψ_m 为第 m 个变量的复振幅, $i = \sqrt{-1}$, x 和 t 分别为空间和时间变量。参数 α_m 为色散系数, σ_{mm} 为Landau常数, $\sigma_{mj}(j \neq m)$ 为波波相互作用系数, 它描述波包的交叉调制, 它们均为实数。

若考虑 $N_c = 3$ 的情形, 此系统满足电荷守恒律

$$Q_m(t) = \int_{\mathbb{R}} |\psi_m|^2 dx = Q_m(0), \quad m = 1, 2, 3,$$

和能量守恒律

$$\begin{aligned} \mathcal{E}(t) = \int_{\mathbb{R}} & \left[\frac{\sigma}{4} (|\psi_1|^4 + |\psi_2|^4 + |\psi_3|^4 + 2|\psi_1|^2|\psi_2|^2) + \frac{e}{2} |\psi_2|^2 (|\psi_1|^2 + |\psi_3|^2) \right. \\ & \left. - \frac{\alpha_1}{2} \left| \frac{\partial}{\partial x} \psi_1 \right|^2 - \frac{\alpha_2}{2} \left| \frac{\partial}{\partial x} \psi_2 \right|^2 - \frac{\alpha_3}{2} \left| \frac{\partial}{\partial x} \psi_3 \right|^2 \right] dx = \mathcal{E}(0). \end{aligned}$$

多变量CNLS方程的守恒方法

分别在空间方向利用高阶紧致差分方法、Fourier拟谱方法以及小波配点方法进行离散，在时间方向利用中点格式进行离散后得到格式

$$iD_t\Psi_m^n + \alpha_m A_t D_1^2 \Psi_m^n + A_t \left(\sum_{j=1}^{N_c} \sigma_{mj} |\Psi_j^n|^2 \right) \cdot A_t \Psi_m^n = 0, \quad m = 1, 2, \dots, N_c, \quad (69)$$

其中，若选用高阶紧致差分方法 $D_1 = D_1^{\mathcal{HOC}}$ 进行离散，记格式(69)为保能量高阶紧致方法（EPHOCM）。类似地，当利用 $D_1 = D_1^{\mathcal{F}\mathcal{P}}$ 和 $D_1 = D_1^{\mathcal{WC}}$ 时，分别记为保能量Fourier拟谱方法（EPFPM）和保能量小波配点方法（EPWCM）。

离散守恒律

定理14: 在周期边界条件下, 格式(69)保持总电荷守恒

$$Q_m^{n+1} = \|\Psi_m^{n+1}\|^2 = \Delta x \sum_{l=0}^{N-1} |\psi_{m_l}^{n+1}|^2 = Q_m^n = \cdots = Q_m^0, \quad m = 1, 2, \dots, N_c. \quad (70)$$

注: 离散格式(69) 对任意的常数 N_c 和 σ_{mj} 均满足电荷守恒律(70). 更进一步, 它同样满足电荷守恒形式 $\sum_{m=1}^{N_c} \|\Psi_m^{n+1}\|^2 = \sum_{m=1}^{N_c} \|\Psi_m^n\|^2$, 即 $Q^{n+1} = Q^n$.

定理15: 周期边界条件下, $N_c = 3$ 时, 格式(69)满足离散能量守恒律

$$\mathcal{E}^{n+1} = \mathcal{E}^n = \cdots = \mathcal{E}^0, \quad (71)$$

其中

$$\begin{aligned} \mathcal{E}^n = & \frac{\sigma}{4} (\|\Psi_1^n\|^4 + \|\Psi_2^n\|^4 + \|\Psi_3^n\|^4 + 2\Delta x \sum_{l=0}^{N-1} |\psi_{1_l}^n|^2 |\psi_{3_l}^n|^2) \\ & + \frac{e}{2} (\Delta x \sum_{l=0}^{N-1} |\psi_{1_l}^n|^2 |\psi_{2_l}^n|^2 + \Delta x \sum_{l=0}^{N-1} |\psi_{2_l}^n|^2 |\psi_{3_l}^n|^2) \\ & - \frac{\alpha_1}{2} \|D_1 \Psi_1^n\|^2 - \frac{\alpha_2}{2} \|D_1 \Psi_2^n\|^2 - \frac{\alpha_3}{2} \|D_1 \Psi_3^n\|^2 \end{aligned} \quad (72)$$

多变量CNLS方程的守恒方法

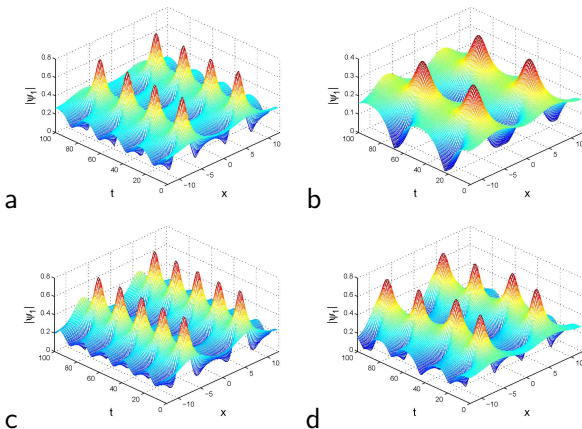


Figure: EPFPM 模拟不稳定波解 Ψ_1 .

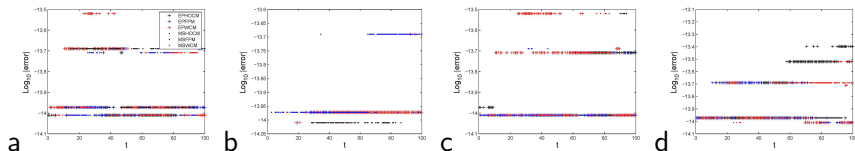


Figure: 离散总电荷误差的比较。

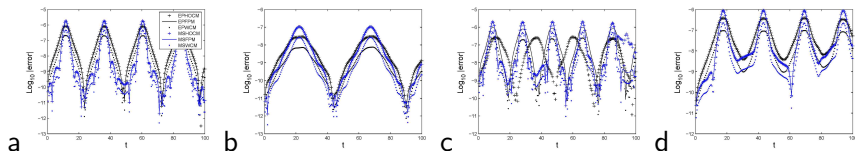


Figure: 离散能量误差的比较。

总结

- 小波配点格式不仅精度高、计算量少，而且具有较好的奇异捕捉能力和不变量的保持特性。

总结

- 小波配点格式不仅精度高、计算量少，而且具有较好的奇异捕捉能力和不变量的保持特性。
- 针对强非线性、强耦合、间断的问题，利用相应的解耦和分裂策略，把一些复杂问题分裂成若干简单问题进行求解，显著降低了计算复杂度，计算效率明显提高。

总结

- 小波配点格式不仅精度高、计算量少，而且具有较好的奇异捕捉能力和不变量的保持特性。
- 针对强非线性、强耦合、间断的问题，利用相应的解耦和分裂策略，把一些复杂问题分裂成若干简单问题进行求解，显著降低了计算复杂度，计算效率明显提高。
- 针对一系列问题提供了若干构造保结构算法的框架，能够直接地构造相应的保结构离散格式，以适应复杂系统自身的要求。

下一步工作

- 边界条件的推广

下一步工作

- 边界条件的推广
- 基于小波自适应的保结构算法

下一步工作

- 边界条件的推广
- 基于小波自适应的保结构算法
- 自适应网格或非结构网格的保结构算法

下一步工作

- 边界条件的推广
- 基于小波自适应的保结构算法
- 自适应网格或非结构网格的保结构算法
- 并行框架下的实现

参考文献

- 1 Xu Qian, Songhe Song, Yaming Chen. A semi-explicit multi-symplectic splitting scheme for a 3-coupled nonlinear Schrödinger equation. *Computer Physics Communications*, 2014, 185(4): 1255-1264.

参考文献

- 1 Xu Qian, Songhe Song, Yaming Chen. A semi-explicit multi-symplectic splitting scheme for a 3-coupled nonlinear Schrödinger equation. *Computer Physics Communications*, 2014, 185(4): 1255-1264.
- 2 Xu Qian, Yaming Chen, Songhe Song. Novel conservative methods for Schrödinger equations with variable coefficients over long time, *Communications in Computational Physics*, 2014, 15(3): 692-711.

参考文献

- 1 Xu Qian, Songhe Song, Yaming Chen. A semi-explicit multi-symplectic splitting scheme for a 3-coupled nonlinear Schrödinger equation. *Computer Physics Communications*, 2014, 185(4): 1255-1264.
- 2 Xu Qian, Yaming Chen, Songhe Song. Novel conservative methods for Schrodinger equations with variable coefficients over long time, *Communications in Computational Physics*, 2014, 15(3): 692-711.
- 3 Xu Qian, Hao Fu, Songhe Song, Conservative modified Crank - Nicolson and time-splitting wavelet methods for modeling Bose - Einstein condensates in delta potentials, *Applied Mathematics and Computation*, (2017) 307 1 - 16.

参考文献

- 1 Xu Qian, Songhe Song, Yaming Chen. A semi-explicit multi-symplectic splitting scheme for a 3-coupled nonlinear Schrödinger equation. *Computer Physics Communications*, 2014, 185(4): 1255-1264.
- 2 Xu Qian, Yaming Chen, Songhe Song. Novel conservative methods for Schrödinger equations with variable coefficients over long time, *Communications in Computational Physics*, 2014, 15(3): 692-711.
- 3 Xu Qian, Hao Fu, Songhe Song, Conservative modified Crank - Nicolson and time-splitting wavelet methods for modeling Bose - Einstein condensates in delta potentials, *Applied Mathematics and Computation*, (2017) 307 1 - 16.
- 4 Xu Qian, Hao Fu, Songhe Song. Structure-preserving wavelet algorithms for the nonlinear Dirac model, *Adv. Appl. Math. Mech.*, 2017, 9(4) 964-989.

参考文献

- 1 Xu Qian, Songhe Song, Yaming Chen. A semi-explicit multi-symplectic splitting scheme for a 3-coupled nonlinear Schrodinger equation. *Computer Physics Communications*, 2014, 185(4): 1255-1264.
- 2 Xu Qian, Yaming Chen, Songhe Song. Novel conservative methods for Schrodinger equations with variable coefficients over long time, *Communications in Computational Physics*, 2014, 15(3): 692-711.
- 3 Xu Qian, Hao Fu, Songhe Song, Conservative modified Crank - Nicolson and time-splitting wavelet methods for modeling Bose - Einstein condensates in delta potentials, *Applied Mathematics and Computation*, (2017) 307 1 - 16.
- 4 Xu Qian, Hao Fu, Songhe Song. Structure-preserving wavelet algorithms for the nonlinear Dirac model, *Adv. Appl. Math. Mech.*, 2017, 9(4) 964-989.
- 5 Xu Qian, Songhe Song, Weibin Li. A simple framework of conservative algorithms for the coupled nonlinear Schrodinger equations with multiply components. *Communications in Theoretical Physics*, 2014, 61(6): 703-709.

参考文献

- 1 Xu Qian, Songhe Song, Yaming Chen. A semi-explicit multi-symplectic splitting scheme for a 3-coupled nonlinear Schrodinger equation. *Computer Physics Communications*, 2014, 185(4): 1255-1264.
- 2 Xu Qian, Yaming Chen, Songhe Song. Novel conservative methods for Schrodinger equations with variable coefficients over long time, *Communications in Computational Physics*, 2014, 15(3): 692-711.
- 3 Xu Qian, Hao Fu, Songhe Song, Conservative modified Crank - Nicolson and time-splitting wavelet methods for modeling Bose - Einstein condensates in delta potentials, *Applied Mathematics and Computation*, (2017) 307 1 - 16.
- 4 Xu Qian, Hao Fu, Songhe Song. Structure-preserving wavelet algorithms for the nonlinear Dirac model, *Adv. Appl. Math. Mech.*, 2017, 9(4) 964-989.
- 5 Xu Qian, Songhe Song, Weibin Li. A simple framework of conservative algorithms for the coupled nonlinear Schrodinger equations with multiply components. *Communications in Theoretical Physics*, 2014, 61(6): 703-709.
- 6 钱旭, 宋松和. 二维非线性Schrodinger方程的两类局部守恒算法. *中国科学:数学*, 2018, 48(2): 345 - 360.

谢谢!